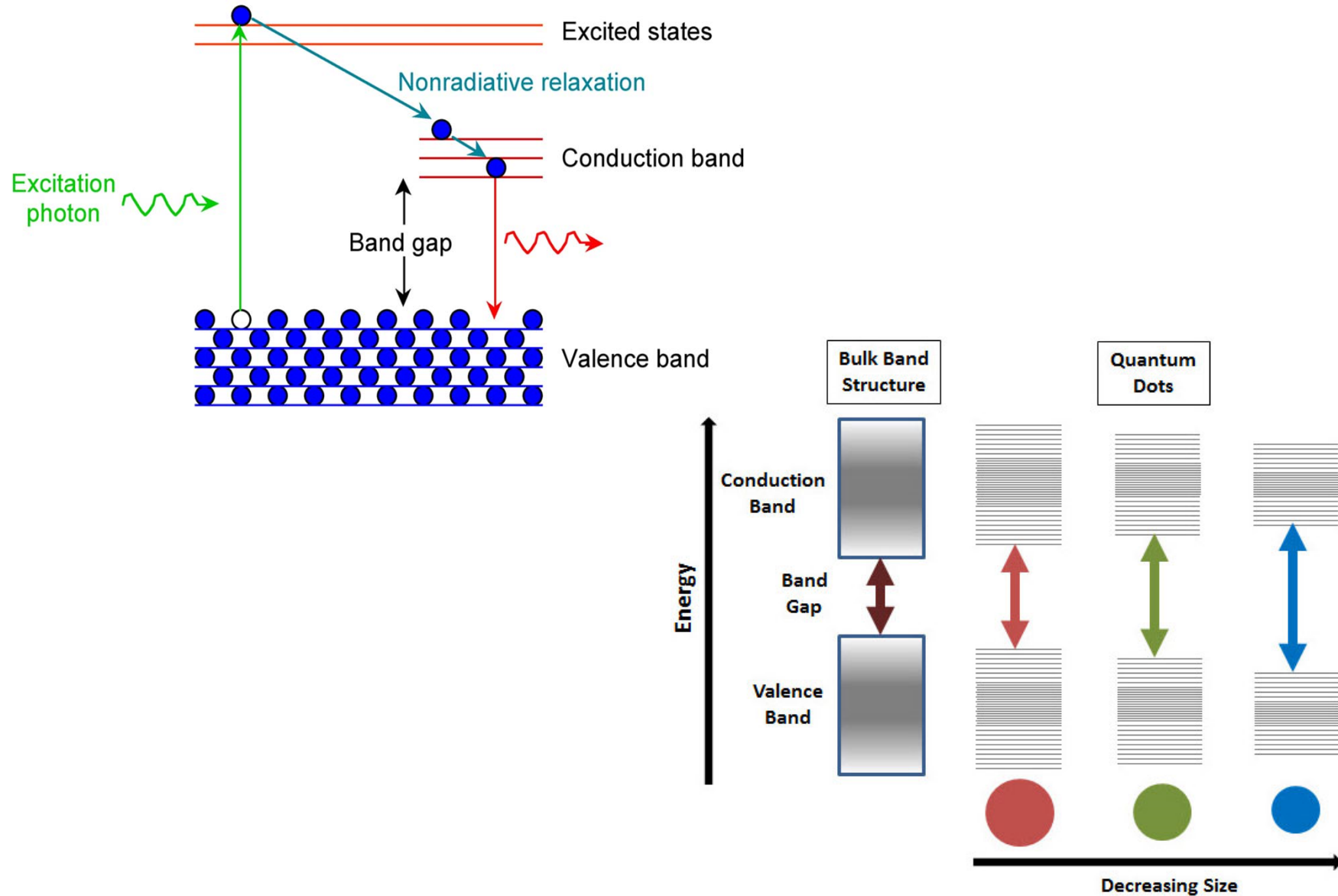


# Soft Matter in Nanobiotechnology : Liposomes

Summarized by  
Prof. Dong June Ahn  
Korea University

<https://www.youtube.com/watch?v=vGz-qDE3Go4>

# Band Theory on Quantum Confinement Effect



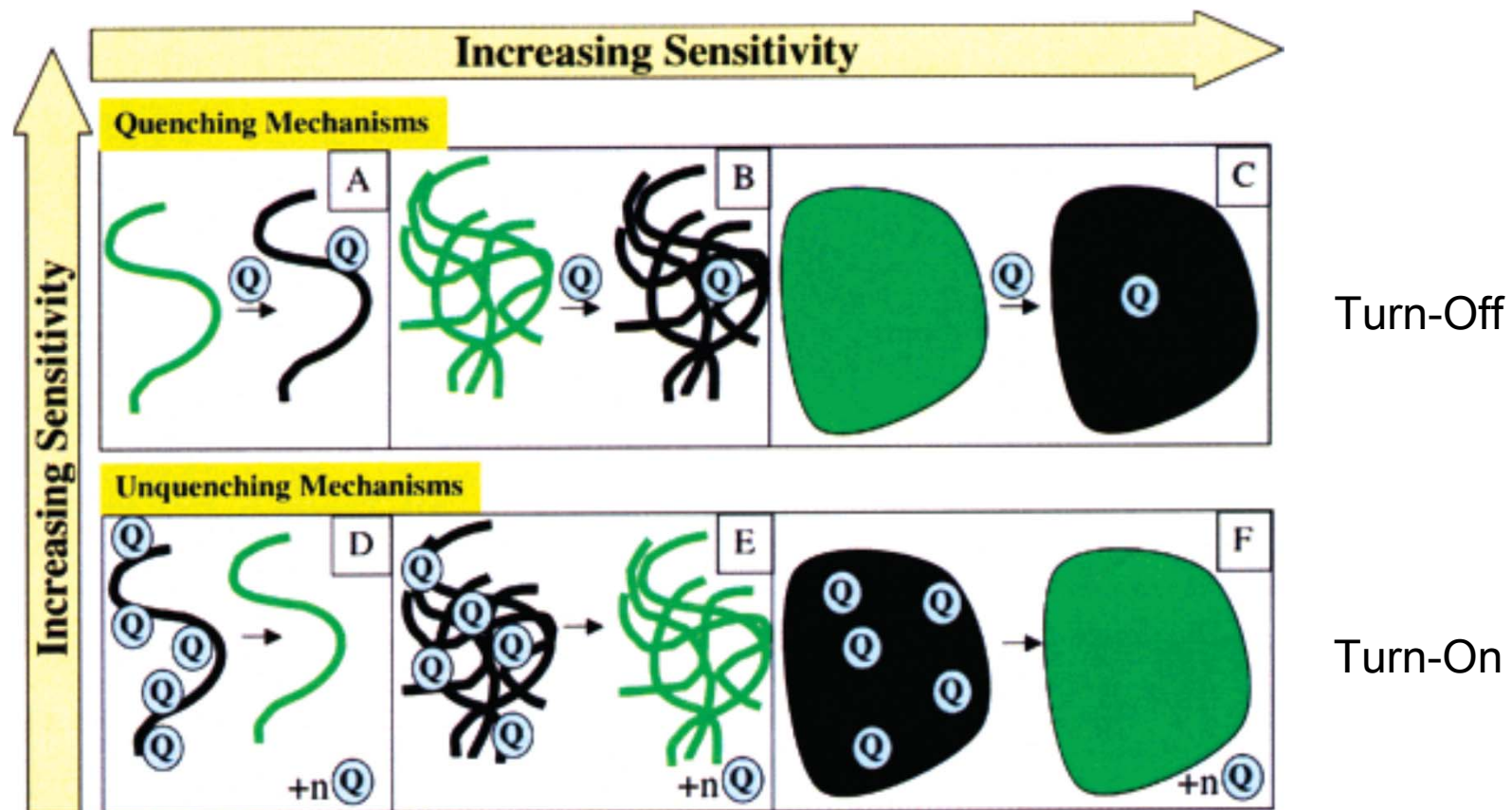
# Photoluminescence

Photoluminescence is the emission of light from any material due to the loss of energy from excited state to ground state. There are two main types of luminescence – fluorescence and phosphorescence.

**Fluorescence** is a fast decay process, where the emission rate is around  $10^8 \text{ s}^{-1}$  and the lifetime is around  $10^{-9} - 10^{-7} \text{ s}$ . Fluorescence occurs when the excited state electron has an opposite spin compared to the ground state electrons. From the laws of quantum mechanics, this is an allowed transition, and occurs rapidly by emission of a photon. Fluorescence disappears as soon as the exciting light source is removed. Group 12-16 semiconductor quantum dots exhibit fluorescence properties when excited with ultraviolet light.

**Phosphorescence** is the emission of light, in which the excited state electron has the same spin orientation as the ground state electron. This transition is a forbidden one and hence the emission rates are slow ( $10^3 - 10^0 \text{ s}^{-1}$ ). So the phosphorescence lifetimes are longer, typically seconds to several minutes, while the excited phosphors slowly returned to the ground state. Phosphorescence is still seen, even after the exciting light source is removed.

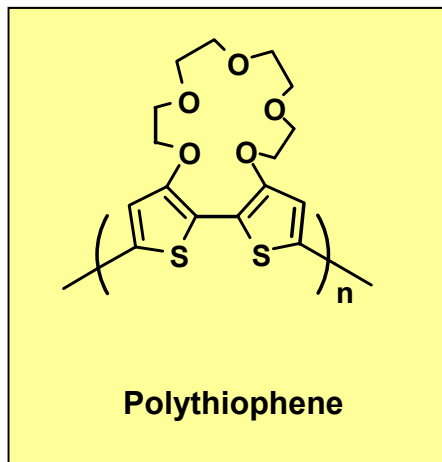
# Role of Mechanism and Dimensionality



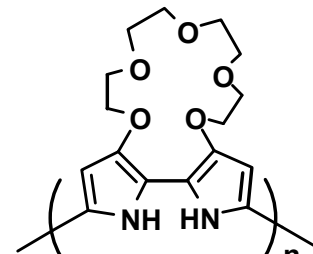
T. Swager *et al.*, Chem. Rev. (2007)

# $\pi$ -Conjugated Polymers

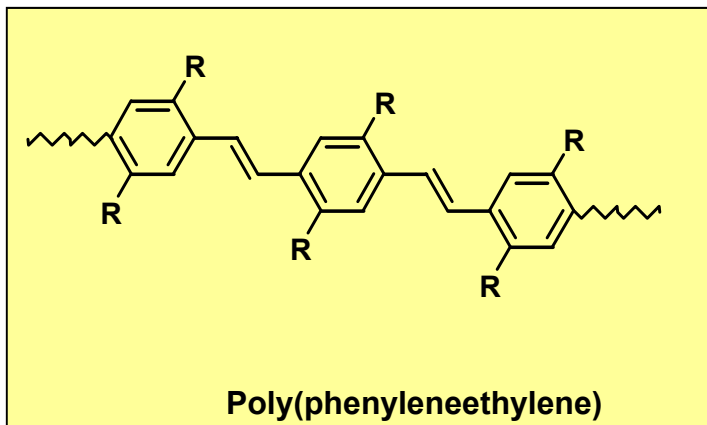
- $\pi$ -Conjugated Polymers



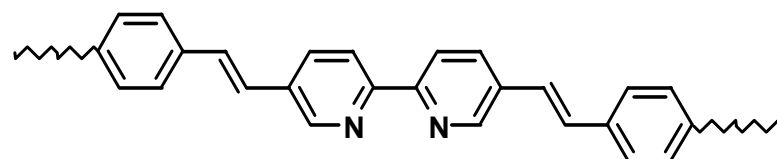
Polythiophene



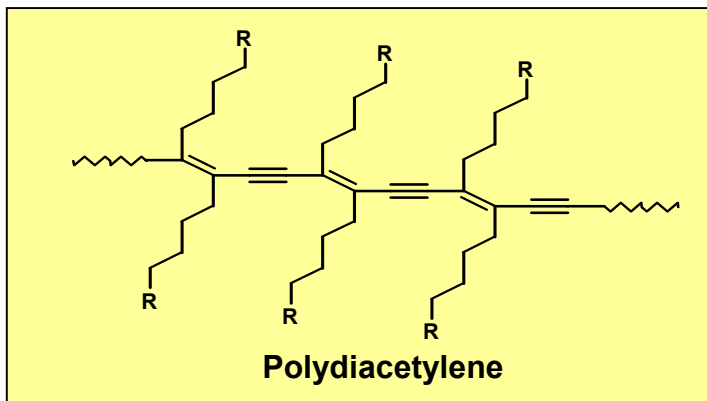
Polypyrrole



Poly(phenyleneethylenes)



Combination (PPE + Bipyridil)

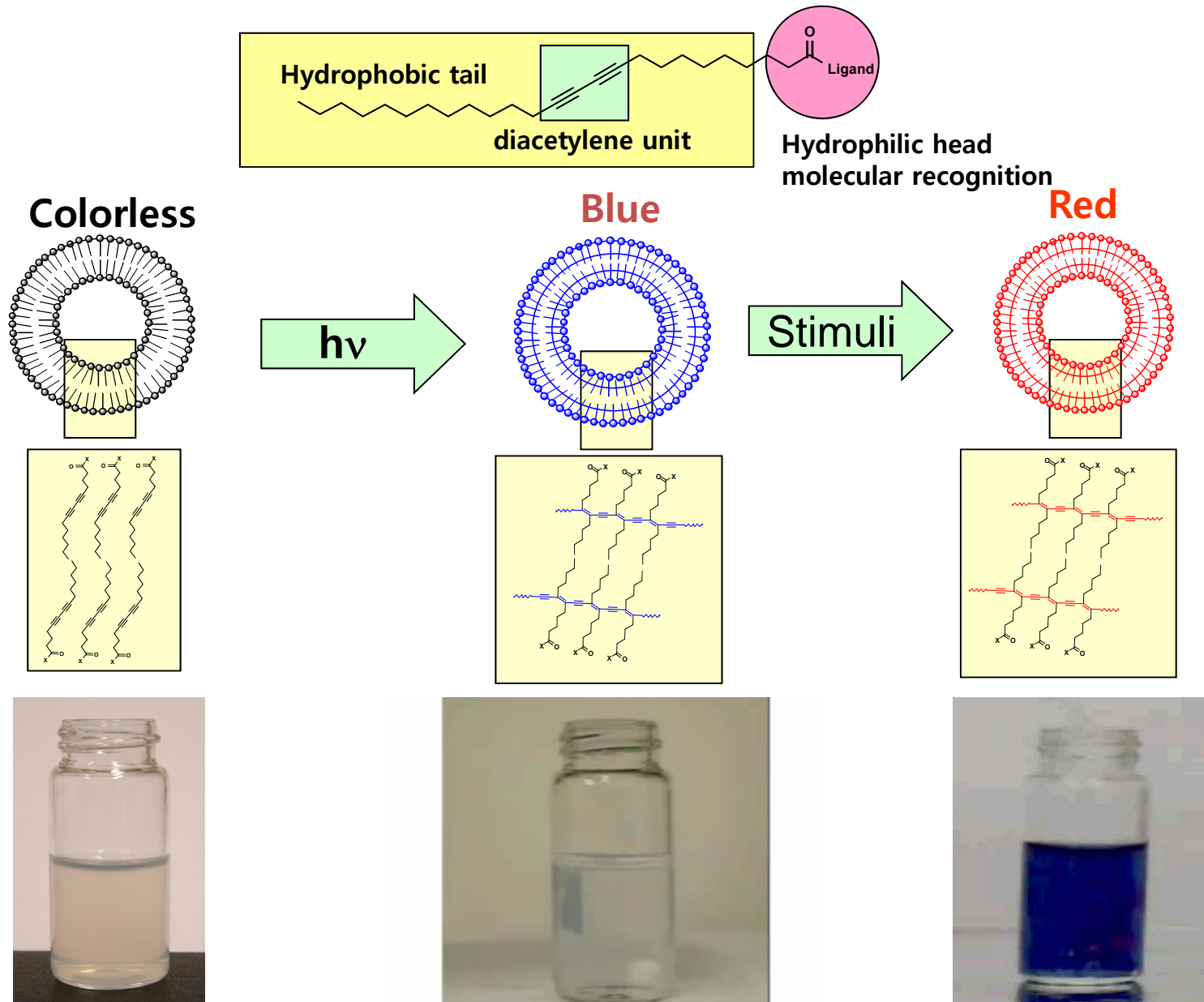


Polydiacetylene

- Electrical and/or optical properties

Easily dispersed into aqueous media !

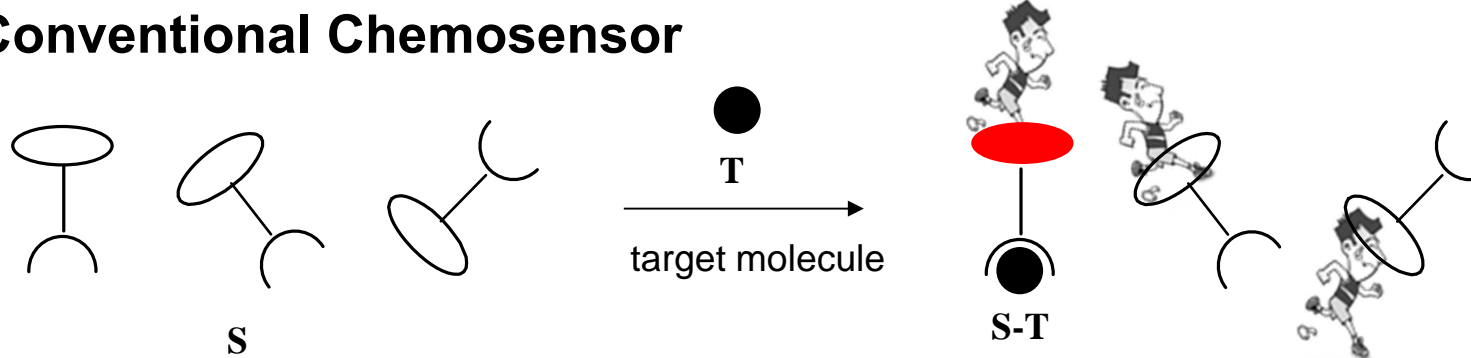
# Polydiacetylene Supramolecules



D. J. Ahn, Korea University

# Conjugated Polymers

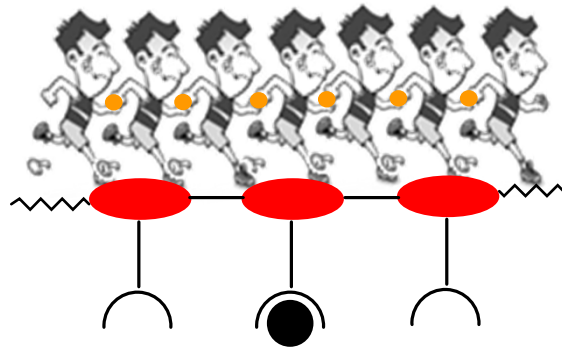
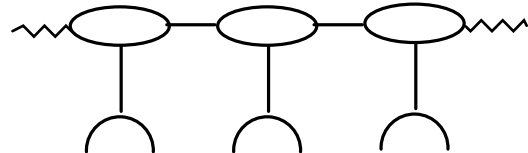
- **Conventional Chemosensor**



Sensitivity depends on the equilibrium constant.

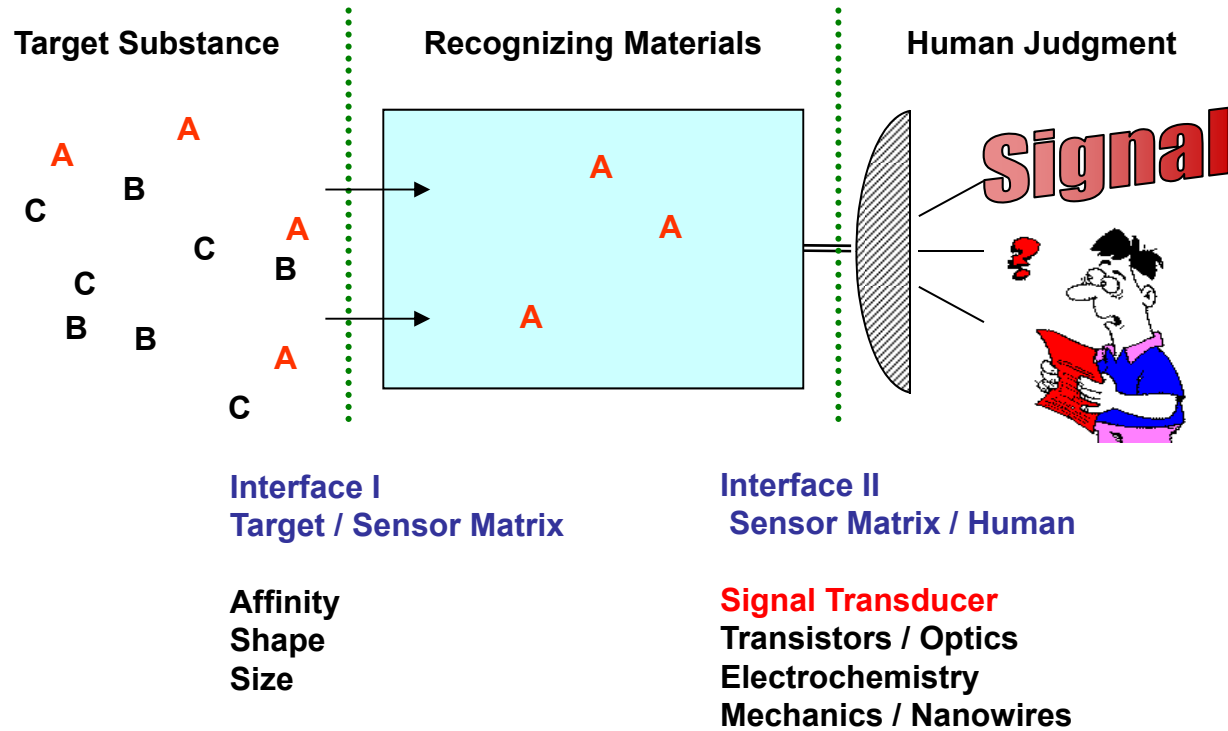
$$K_{eq} = [S-T] / [S] [T]$$

- **$\pi$ -Conjugated Polymer Sensor**



Signal amplification can be achieved.

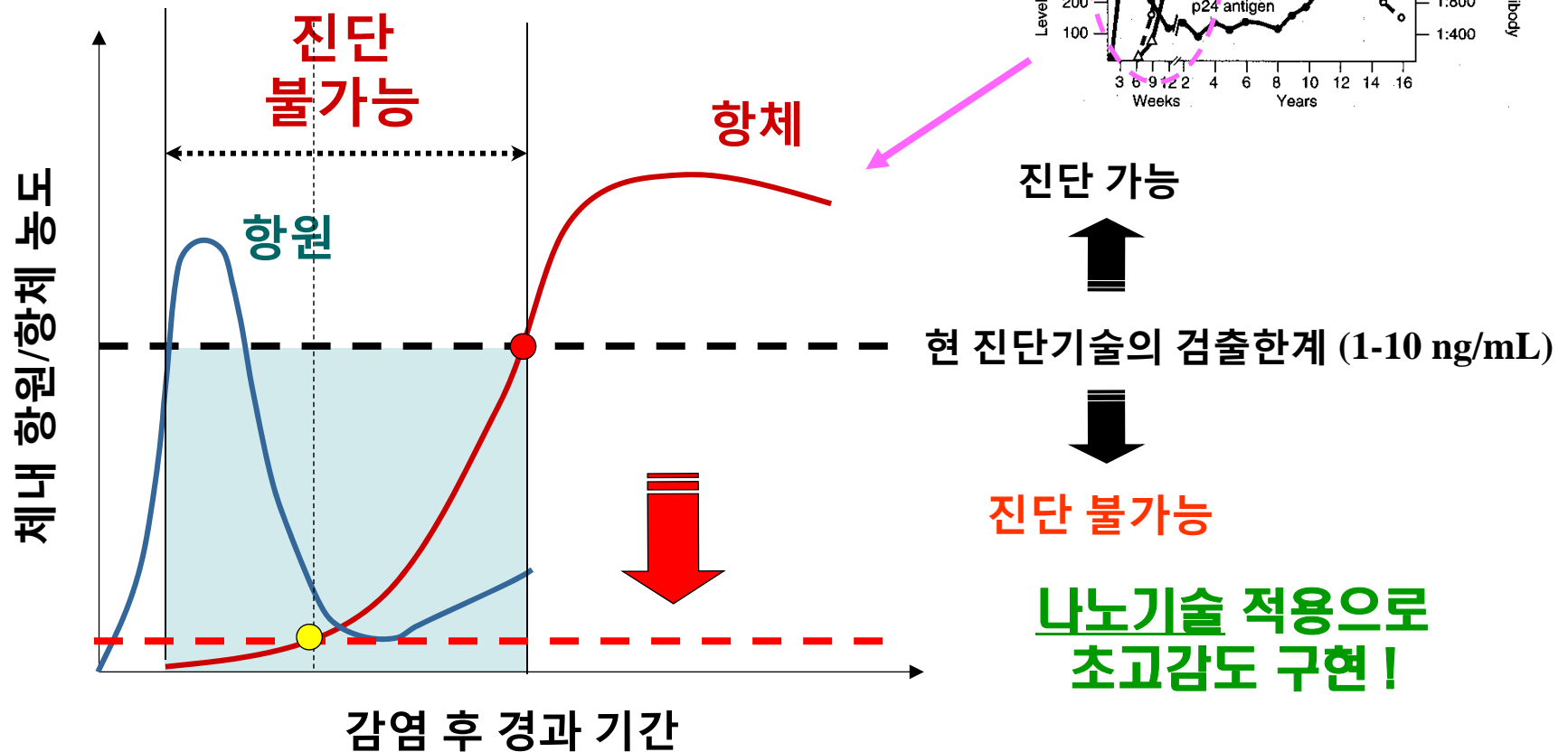
# Sensor System



**Sensitivity, Specificity, Reliability**

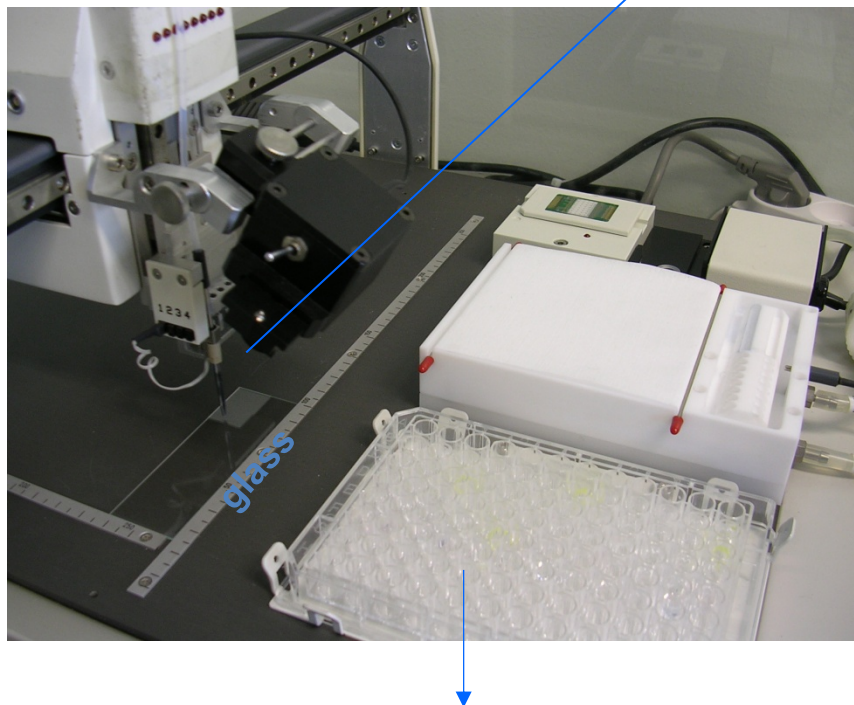
# 조기진단의 필요성

- 기존 감염진단의 **문제점** : 낮은 민감도
- 예: 수혈사고 (AIDS, 간염 등)

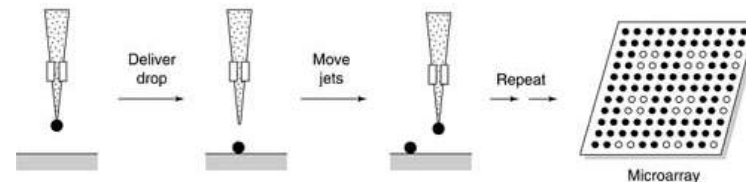


# Nanosome Array Chips

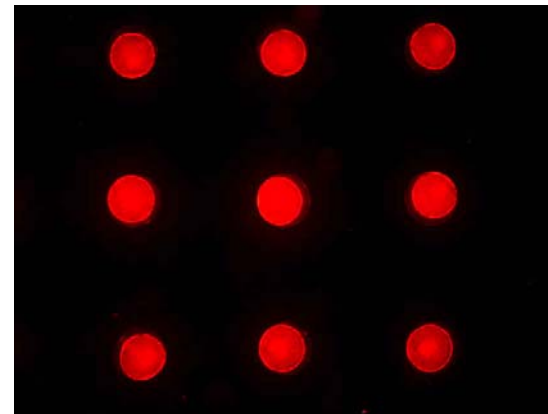
< Ink-jet Microarrayer >



Inkjet (non-contact), single tip



< Microarray of Nanosomes >

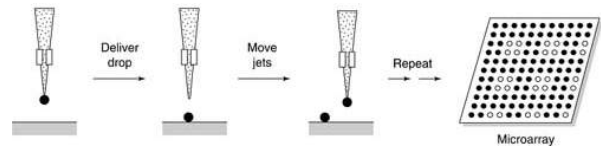


Pre-spot Nanosome Library  
Solutions in 96 or 384 well plates

1 spot (2 nL), width: 200  $\mu\text{m}$

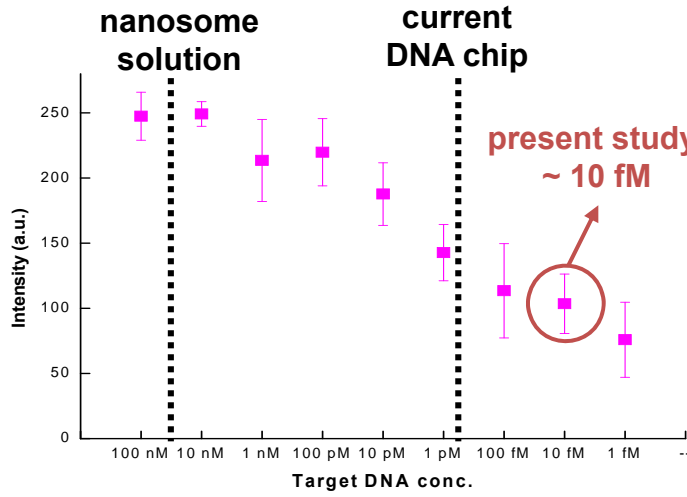
- Conventional sol'n analysis: 0.1 mL
- **50,000-fold saving**
- **Tiny amount of analytes**
- **Simultaneous multiple screening**

# DNA Detection Sensitivity



3` - GAT GGA TGC CCA TTG - 5`-NH<sub>2</sub>  
  
 5` - CTA CCT ACG GGT AAC - 3`

## *E. coli* lethal factor sequence 15 mer.



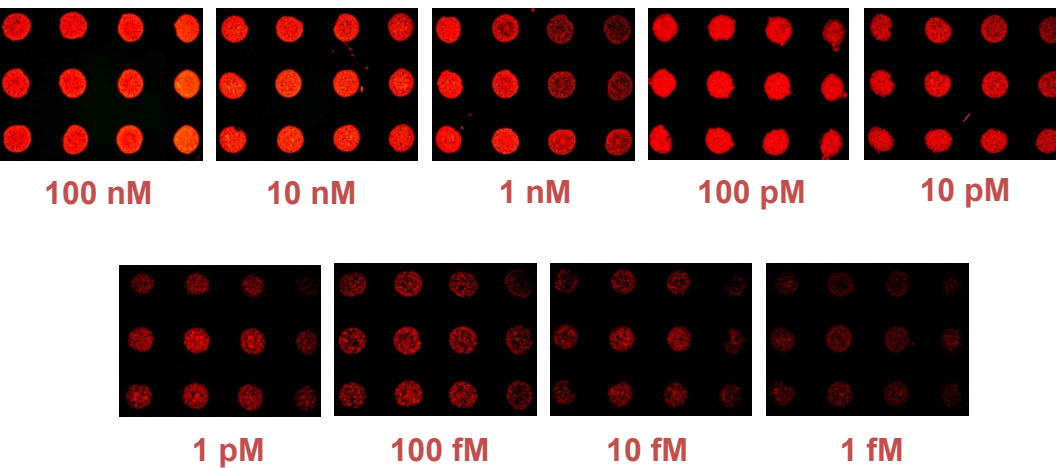
## Spotting of nanosome-probe DNA complex



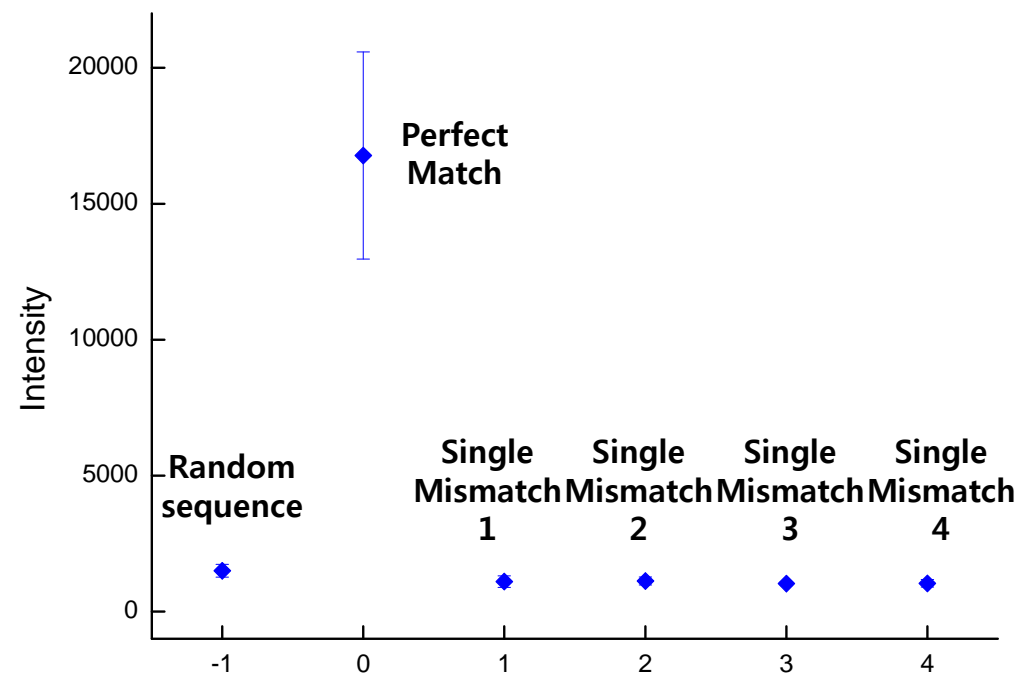
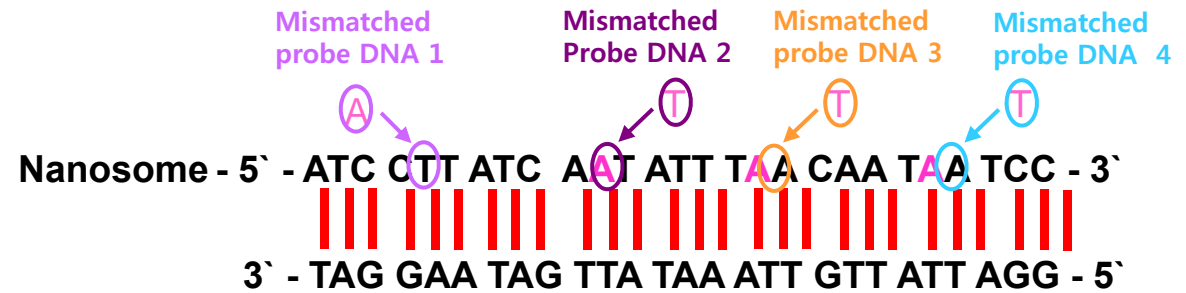
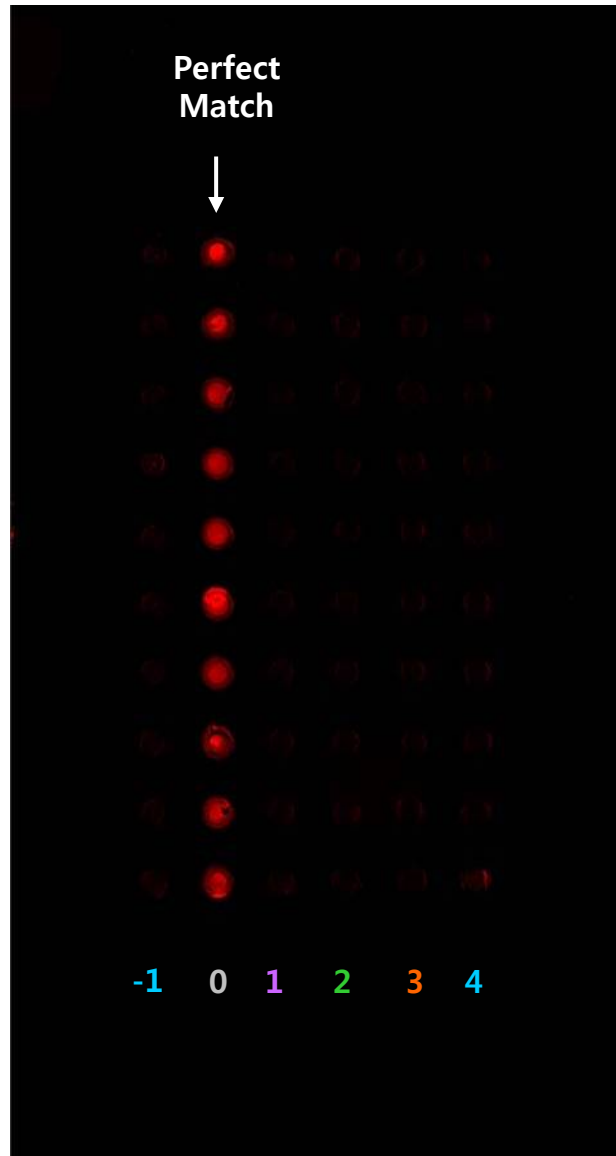
### Polymerization



## target DNA

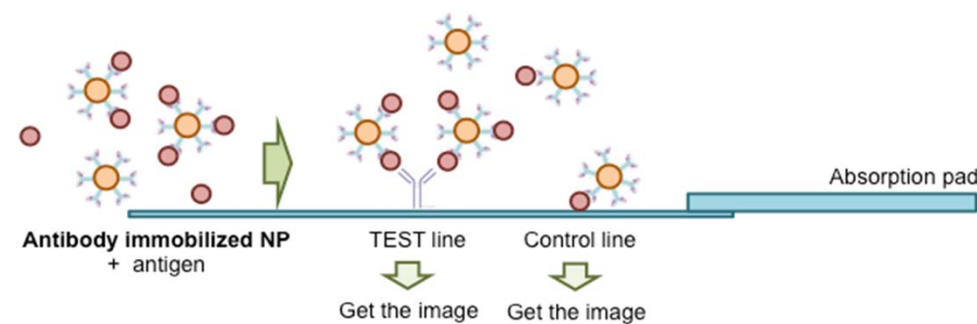
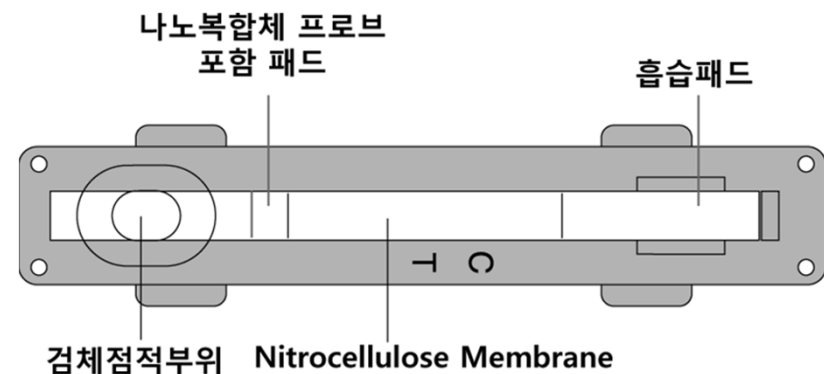


# DNA Detection Selectivity

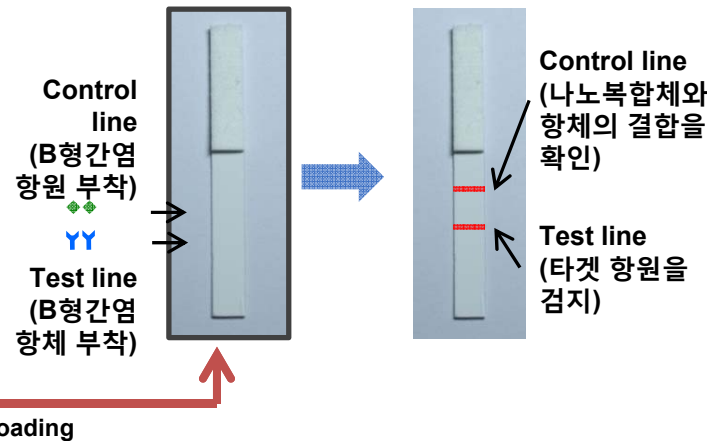
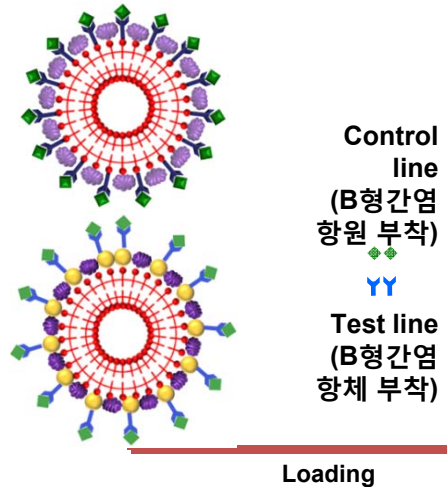


-1: Random, 0: Perfect, 1: Mis 1, 2: Mis 2, 3: Mis 3, 4: Mis 4

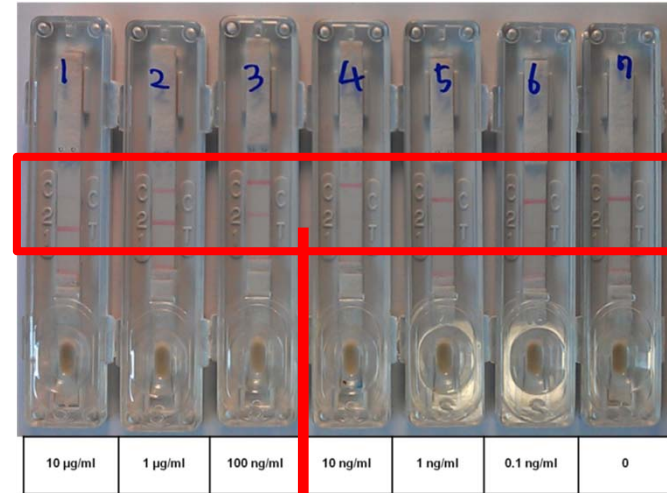
# Assay Kit



# Diagnosis of Hepatitis B Antigen



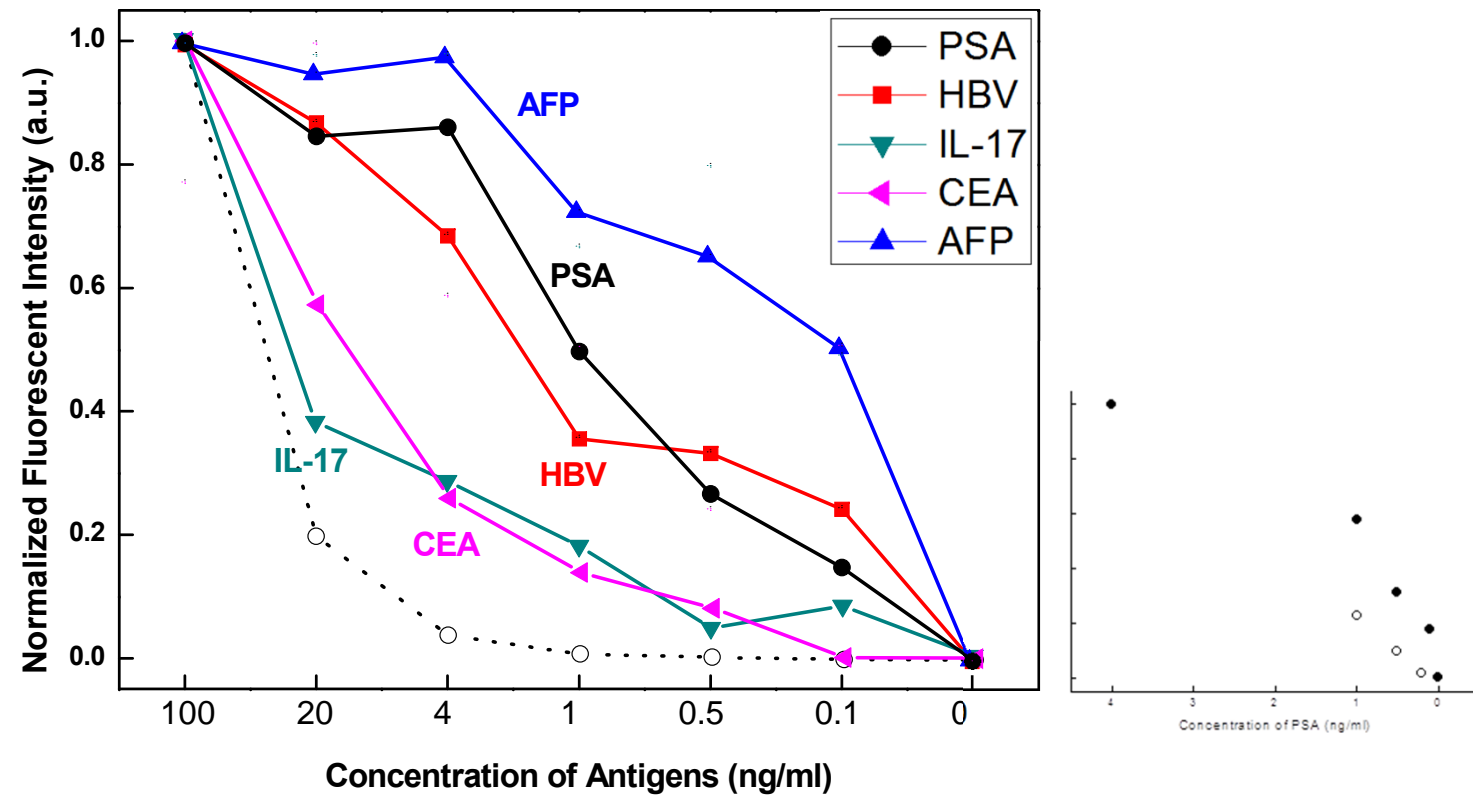
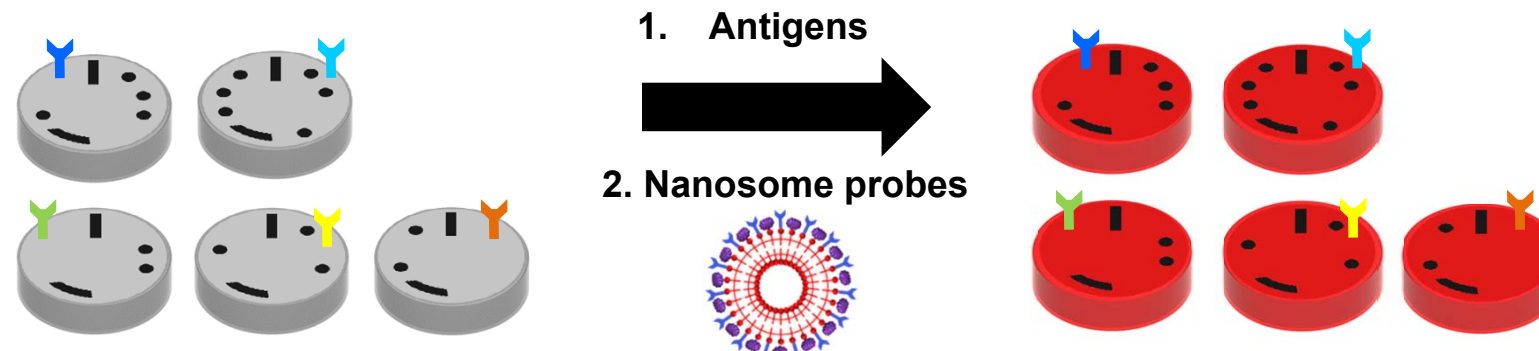
B형간염 진단 키트



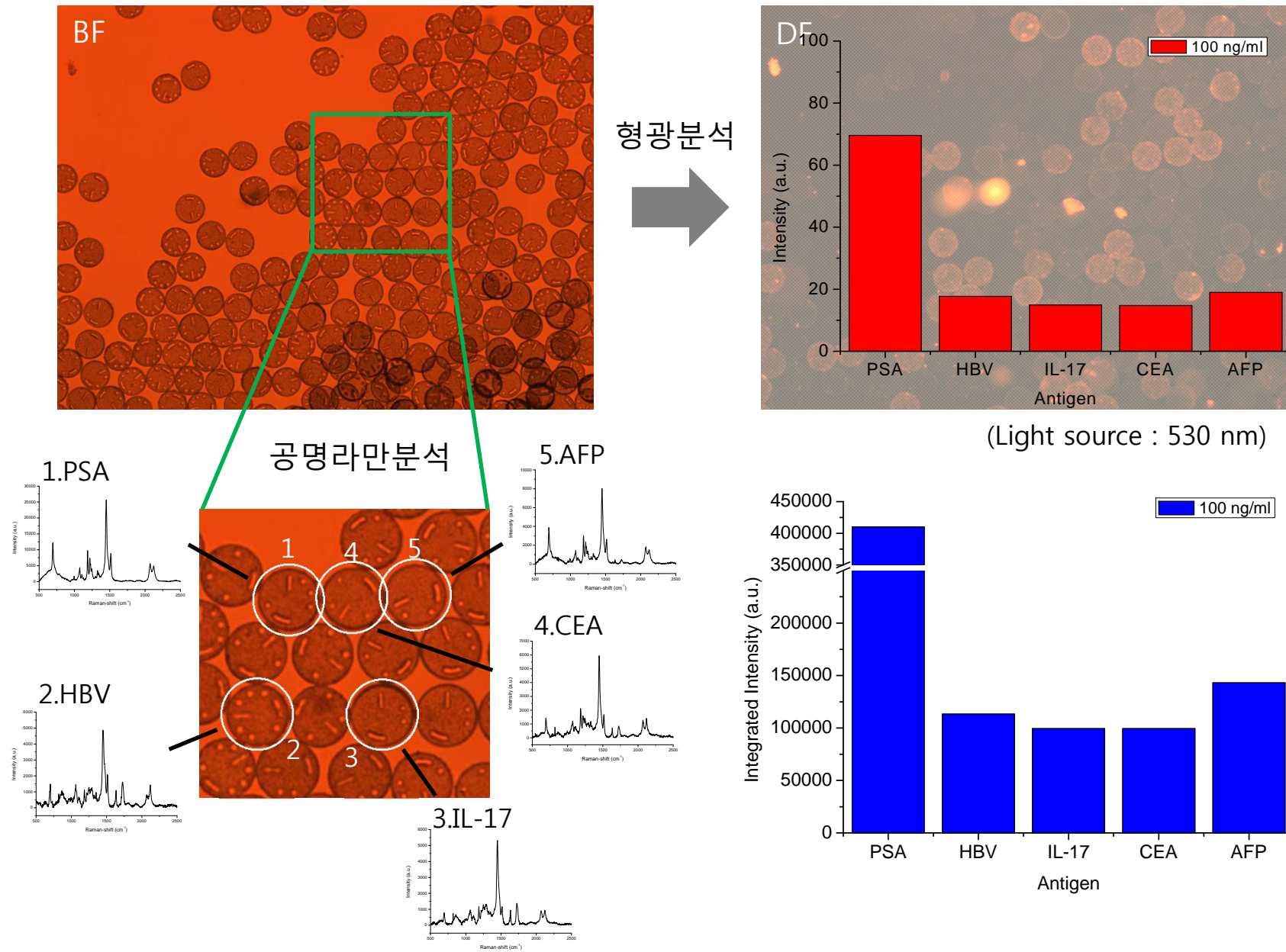
<Fluorescence images>

Conc. of HBsAg	10 µg/ml	1 µg/ml	100 ng/ml	10 ng/ml	1 ng/ml	0.1 ng/ml	0
Control line							
Test line							

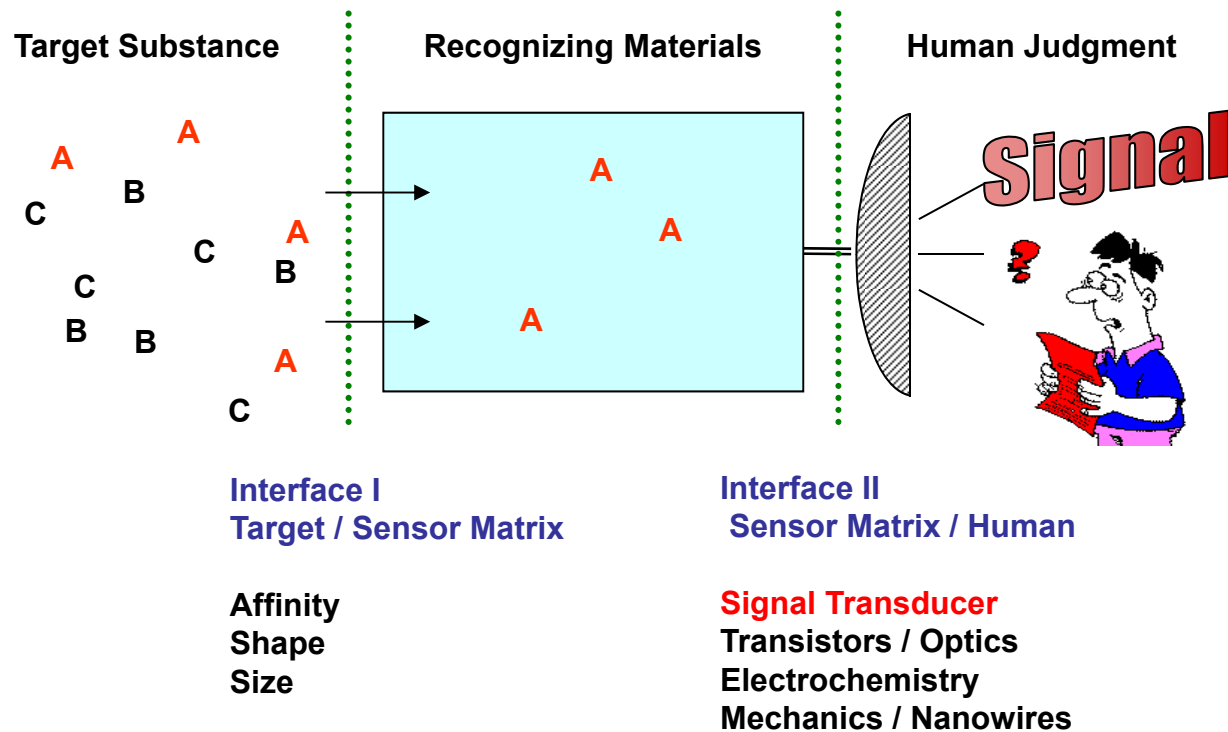
# 동시다중 검지결과: 타겟농도와의 상관성 (분석시간~30분)



공명라만/형광 복합 진단기술에 의한 5종 동시다중 검자: 100~1ng/ml



# Sensor System



**Sensitivity, Specificity, Reliability**  
**Speed**

# Global Hazard Transfer

글로벌 교역을 통한 유해물 확산에 따른 문제점 대응



2000년 이후 조류독감  
[매몰가금류 1,829만 마리]



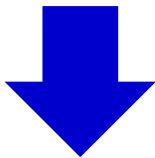
2010년 구제역  
[매몰가축 수 347만 마리]  
**한해 경제적 피해액 8조 추정**



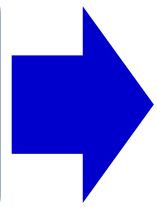
2011년 장출혈성 대장균



2011년 일본 방사능유출



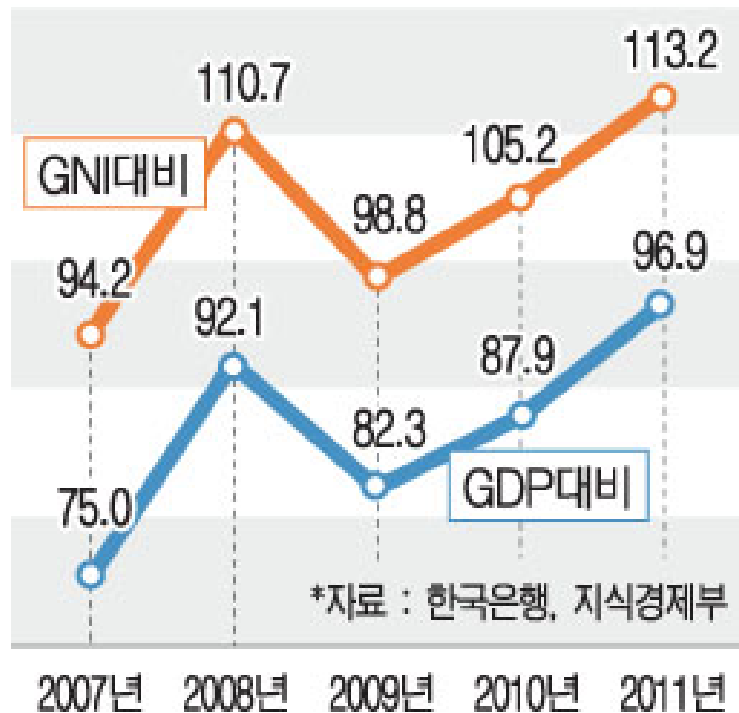
기존 기술의 한계로 인해  
충분한 검역을 하지 못하  
기 때문임



- 더 빠르고, 싸고, 간편하고,  
신뢰도 높은 **신개념 검사법**  
필요
- 표준화된 검역기술 필요

## 무역의존도 추이

(단위 : %)



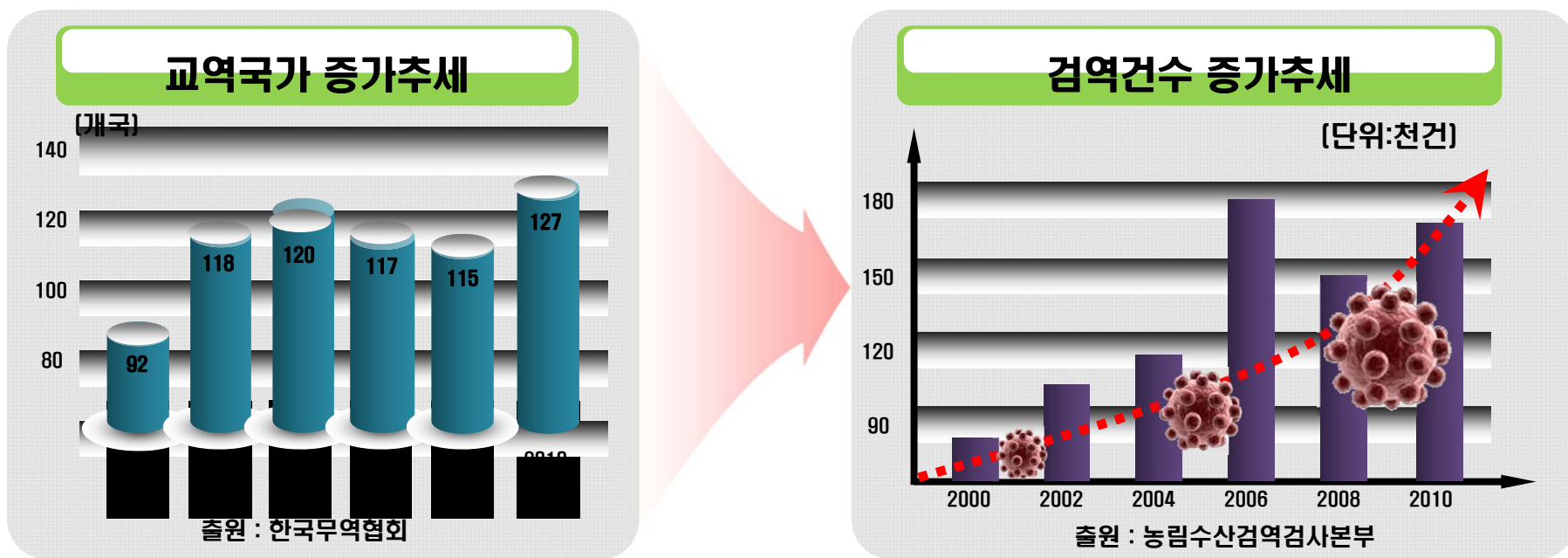
G20 회원국 수출·수입 비중 순위 (GDP 대비 비중, 단위 : %)				
순위	수출		수입	
1	한국	(43.4)	한국	(38.8)
2	독일	(33.6)	멕시코	(28.1)
3	멕시코	(26.2)	독일	(28.0)
4	중국	(24.5)	남아공	(25.4)
5	러시아	(24.4)	캐나다	(24.6)
6	캐나다	(23.4)	사우디아라비아	(24.3)
7	인도네시아	(22.1)	터키	(22.9)
8	남아공	(21.7)	영국	(22.2)
9	이탈리아	(19.1)	프랑스	(20.9)
10	아르헨티나	(18.2)	중국	(20.5)
11	프랑스	(17.8)	인도	(19.8)
12	터키	(16.6)	이탈리아	(19.5)
13	영국	(16.3)	인도네시아	(17.2)
14	호주	(15.6)	호주	(16.6)
15	유로지역	(14.4)	유로지역	(14.0)
16	인도	(12.8)	아르헨티나	(13.5)
17	일본	(11.4)	미국	(11.4)
18	브라질	(9.7)	일본	(10.8)
19	미국	(7.5)	브라질	(8.5)

\* 2009년 기준. 수출에서 사우디아라비아 통계 제외. 수입에서 러시아 제외  
자료 : 국제통화기금(IMF)·경제협력개발기구(OECD)

# 최근 교역/검역동향

## 1) 세계적으로 글로벌 교역이 크게 증가

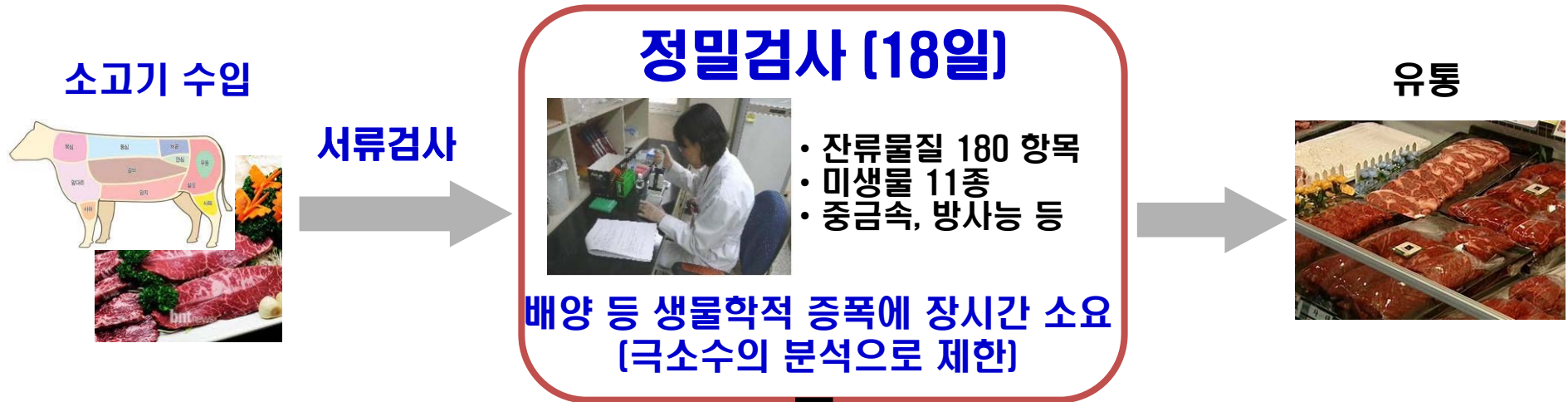
- 한국 교역규모 세계 9위 (연간 ~1조 달러)
- GDP 중 97%가 수출입관련 생산활동
- 세계 최고 무역의존도



## 2) 검역관련 국가간 분쟁의 야기

- 다수의 FTA 체결 등 시장개방 확대의 시대를 맞아 국제무역분쟁도 증가 (예, 한미 FTA, 쇠고기 수입, 등)
- 2010년 17만건중 무작위 6,359건 검사(3.7%). 이중 21건 불합격(0.33%)

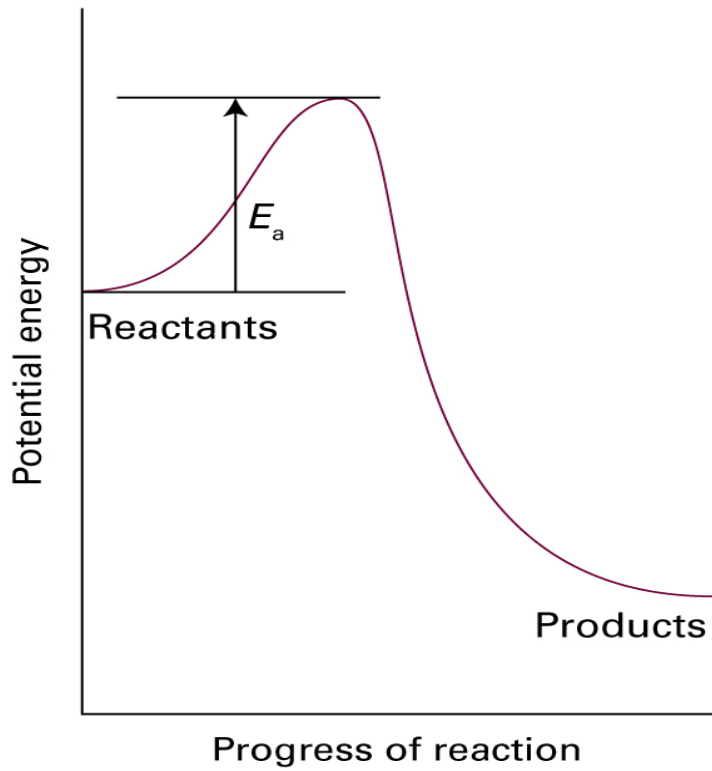
# 기존 검역기술 문제점의 예



주요이유는 기존 바이오 분석 기술의 한계 때문

검역대상물질	(단백질)	(DNA & RNA)	(박테리아, 바이러스)	(화학물질)
기존기술	ELISA 	PCR 	Colony Counting 	GC-MS & HPLC 
기술 한계	제한된 감도	고가, 느린 속도	복잡, 느린 속도	복잡한 전처리, 고가, 큰 장비

# Basic Physical Chemistry of Recognition Kinetics



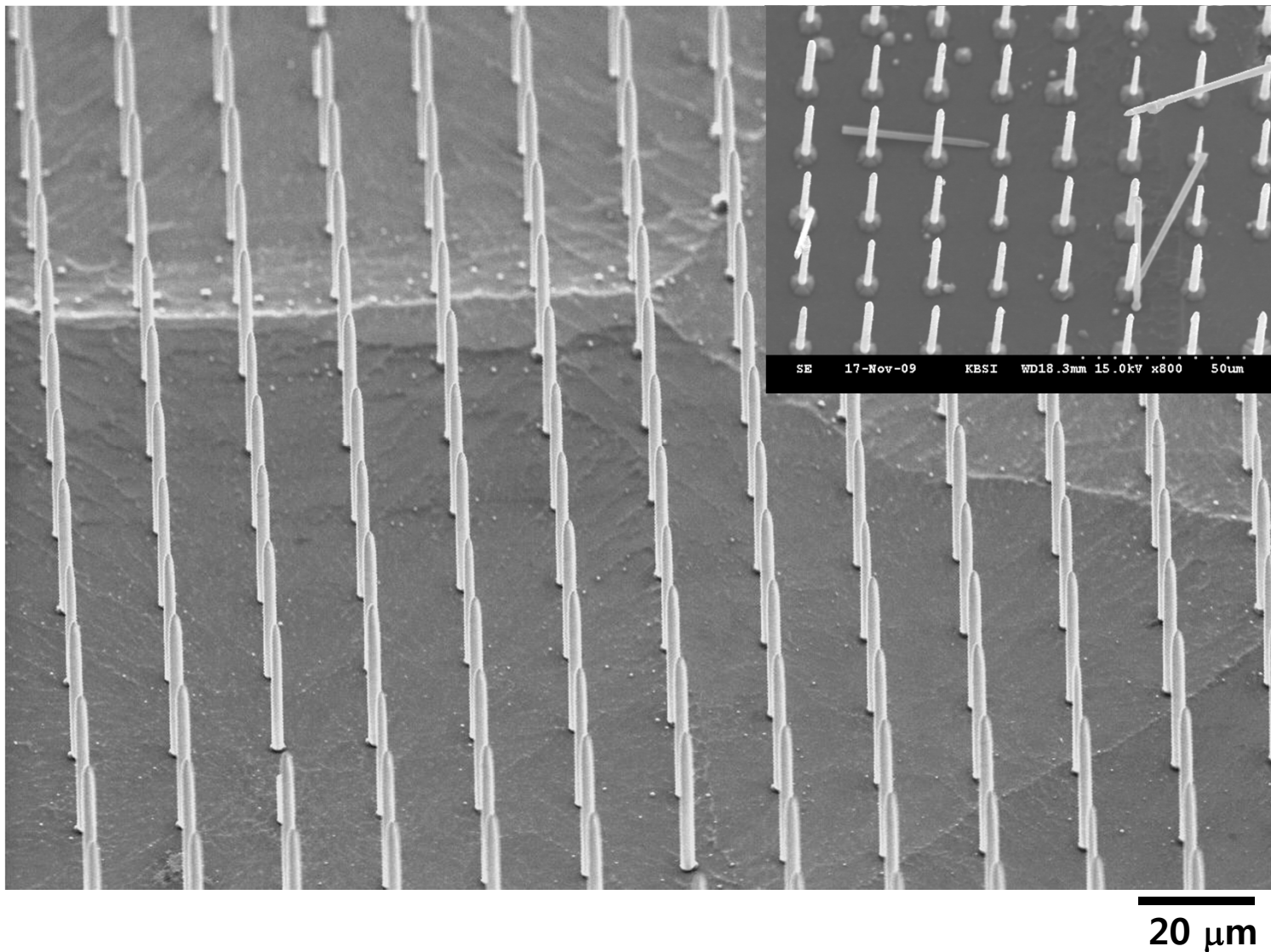
Receptor+Target  $\leftrightarrow$  Product

$$\frac{dP}{dt} = k \times \text{function of activity (or, conc.)}$$
$$k = A \exp\left(-\frac{E_a}{RT}\right)$$

(if Boltzmann distribution holds)

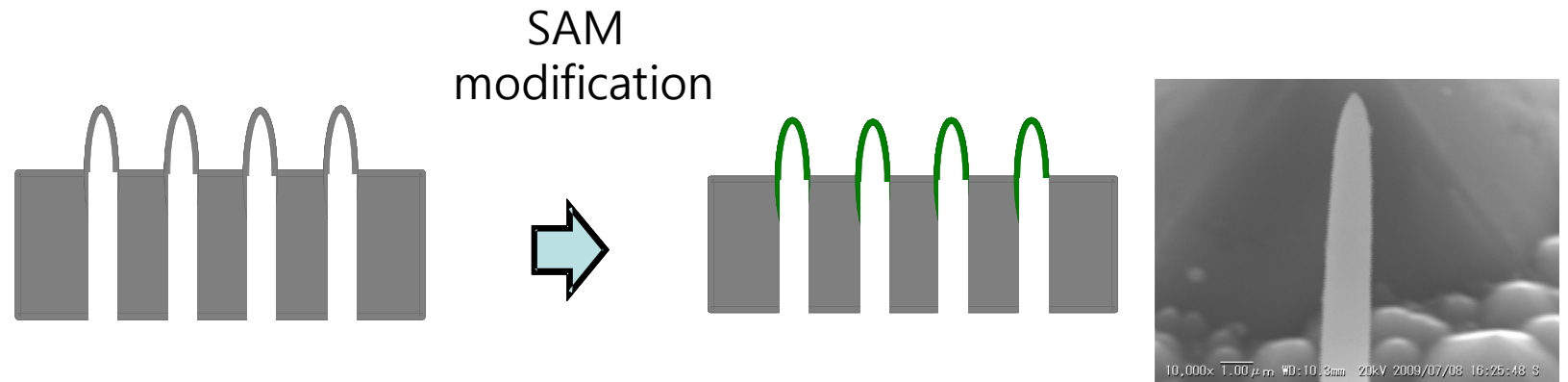
- Recognition process is exothermic:  
Low T favored
- Smaller Ea favored:  
Do we have catalyst? No
- A (collision) needs to be increased:  
High T or mechanical mobility

# Silica Tube (“Obelisk”) Arrays

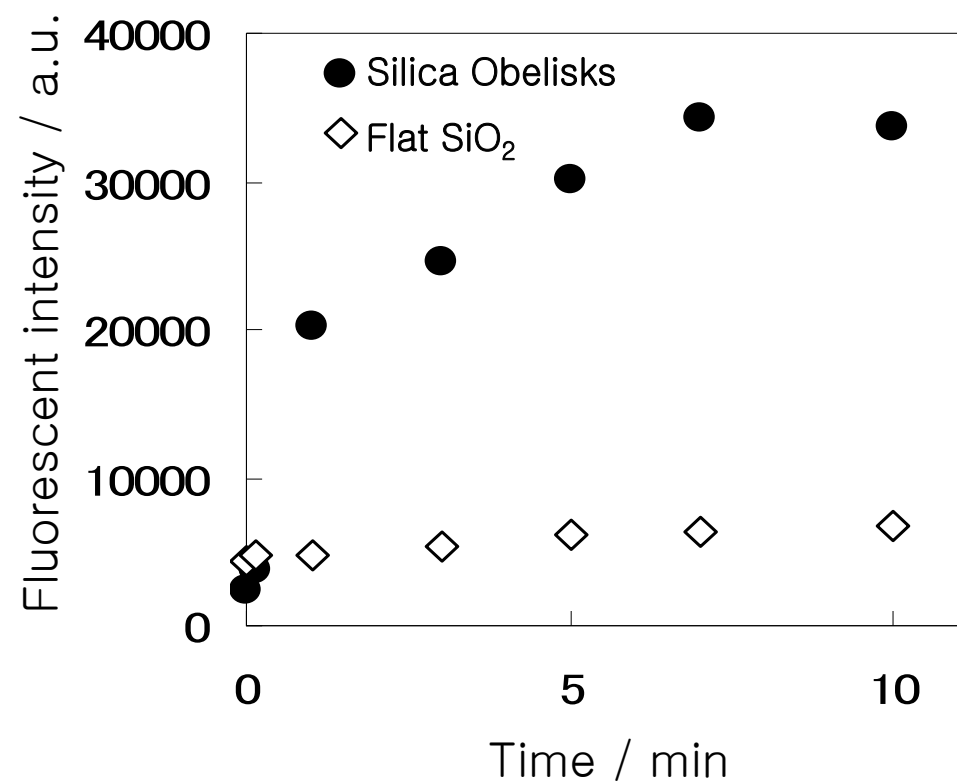
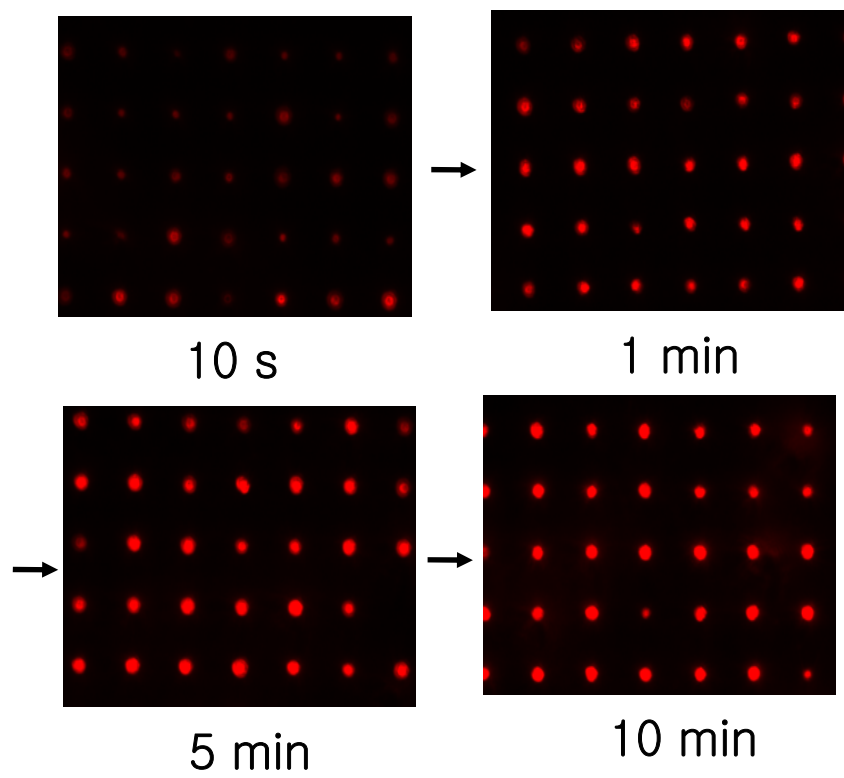


SEM image of exposed silica tube arrays

# Nanosome Obelisk Arrays



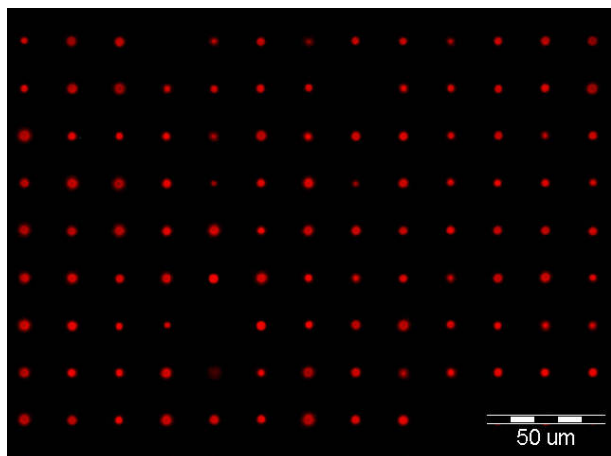
# Proof-of-Concept: Ammonia Gas Detection



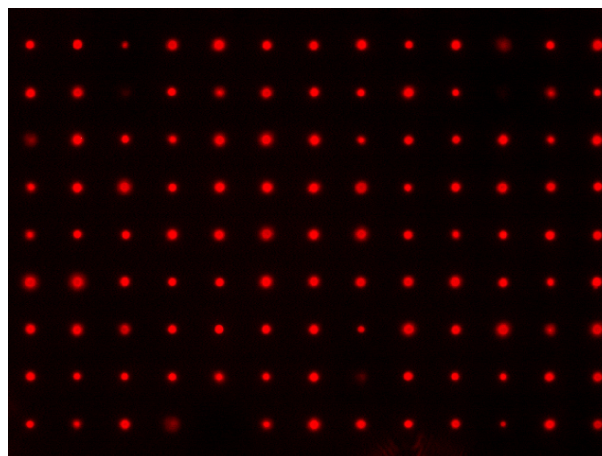
# Label-Free DNA Detection in 10 min.

- *target* DNA

100nM *t*DNA

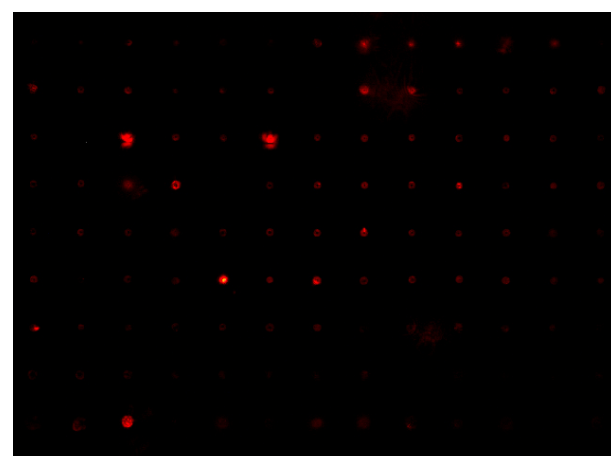


1μM *t*DNA

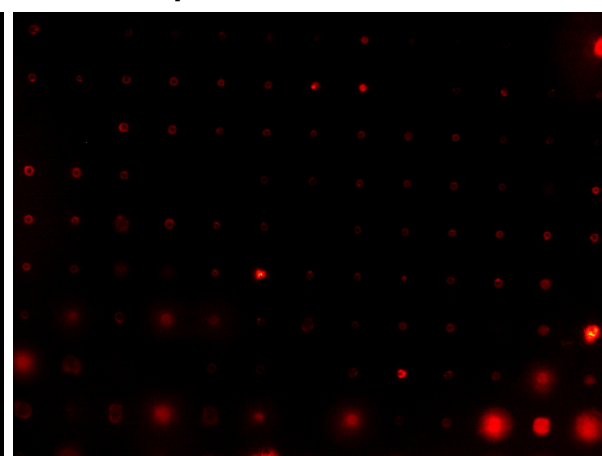


- *random* DNA

100nM *random* DNA



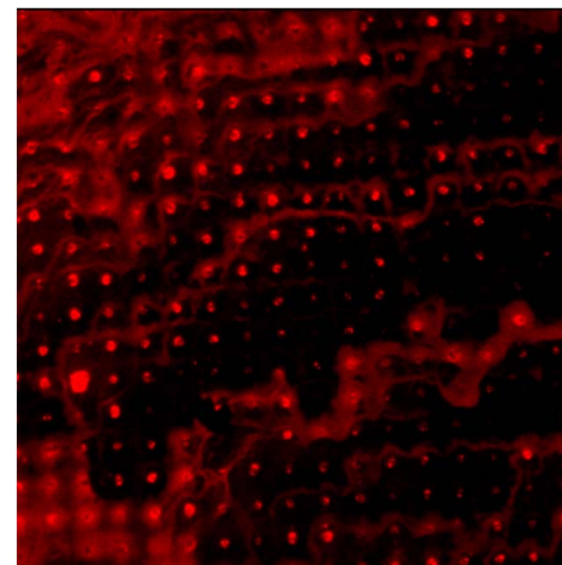
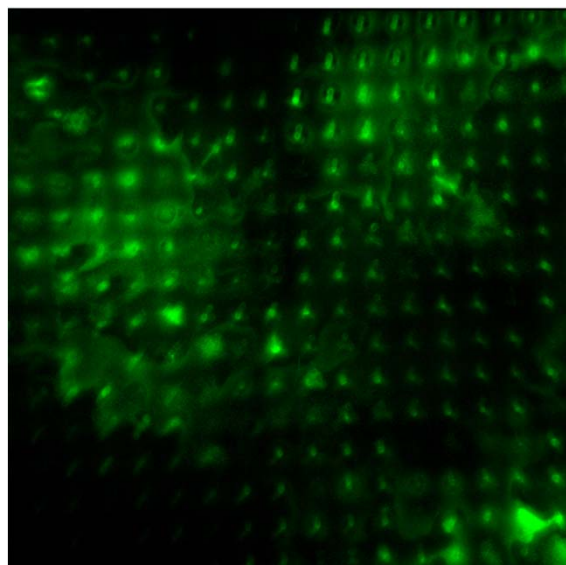
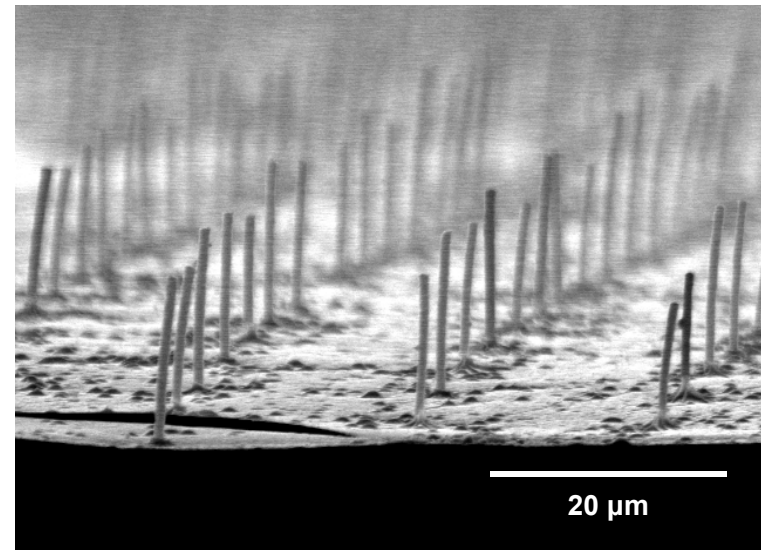
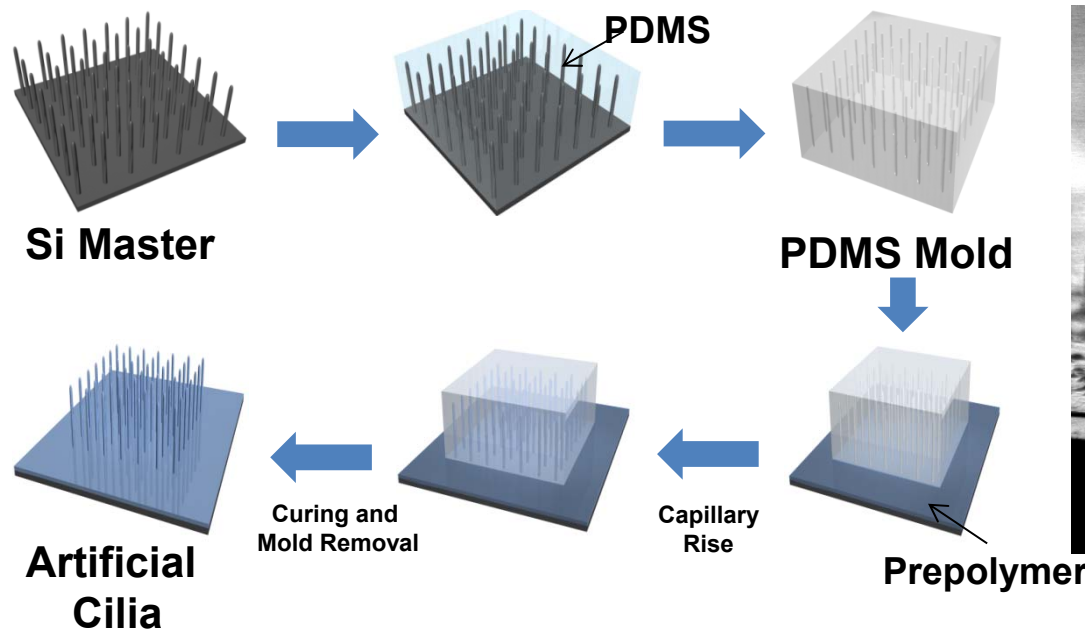
1μM *random* DNA



Exposure time: 0.5s

D. J. Ahn, Korea University

# Artificial Cilia



D. J. Ahn, Korea University

# 글로벌 나노센서 네트워크

